

## 单核 Ru(III)-edta 类配合物的合成、结构及性质研究

况微微 杨培培\*

(淮北师范大学化学与材料科学学院, 淮北 235000)

**摘要:** 采用  $K[Ru(Hedta)Cl] \cdot 1.5H_2O$ (edta 为乙二胺四乙酸根)与含氮杂环配体 5-(4-吡啶)四唑(4-ptz)或 2,5-吡啶二甲酸(2,5-Pydc)反应,设计合成了 2 个单核  $[Ru(Hedta)(4-ptz)] \cdot 4H_2O$ (**1**)和  $[Ru(Hedta)(2,5-Pydc)] \cdot 3H_2O$ (**2**)配合物。晶体结构解析表明配合物 **1** 属于单斜晶系  $C2/c$  空间群, 晶胞参数为  $a=2.348\ 06(15)\ nm, b=1.301\ 23(8)\ nm, c=1.493\ 08(9)\ nm, \beta=101.075\ 0(10)^\circ$ ; 配合物 **2** 属于单斜晶系  $I2/a$  空间群, 晶胞参数为  $a=3.249\ 4(7)\ nm, b=0.966\ 23(19)\ nm, c=1.434\ 1(3)\ nm, \beta=93.88(3)^\circ$ 。对 2 个配合物分别进行了 IR 及 UV-Vis 的表征, 并通过电子吸收光谱和荧光淬灭光谱研究了配合物与 DNA 的作用, 实验结果表明这 2 个钌配合物通过插入方式与 DNA 作用。

**关键词:** Ru(III)配合物; 晶体结构; 光谱表征; 与 DNA 相互作用

中图分类号: O614.82<sup>+1</sup> 文献标识码: A 文章编号: 1001-4861(2014)12-2719-07

DOI: 10.11862/CJIC.2014.389

## Synthesis, Structures and Characterization of Two Mononuclear Ru(III)-edta Complexes

KUANG Wei-Wei YANG Pei-Pei\*

(College of Chemistry and Materials Science, Huaibei Normal University, Huaibei, Anhui 235000, China)

**Abstract:** Two ruthenium(III) complexes containing ethylenediaminetetraacetate (edta),  $[Ru(Hedta)(4-ptz)] \cdot 4H_2O$  (**1**) and  $[Ru(Hedta)(2,5-Pydc)] \cdot 3H_2O$  (**2**), have been synthesized by the  $K[Ru(Hedta)Cl] \cdot 1.5H_2O$  reacting with 5-(4-Pyridyl)tetrazole (4-ptz) or 2,5-Pyridinedicarboxylic acid (2,5-Pydc) in water solution. Complex **1** crystallizes in monoclinic system, space group  $C2/c$  with  $a=2.348\ 06(15)\ nm, b=1.301\ 23(8)\ nm, c=1.493\ 08(9)\ nm, \beta=101.075\ 0(10)^\circ$ . Complex **2** crystallizes in monoclinic system, space group  $I2/a$  with  $a=3.249\ 4(7)\ nm, b=0.966\ 23(19)\ nm, c=1.434\ 1(3)\ nm, \beta=93.88(3)^\circ$ . The products were characterized by IR and UV-Vis. Their DNA-binding activities were investigated using electronic absorption spectroscopic methods and fluorescence quenching; the experimental results show that these two ruthenium complexes may bind to CT-DNA through intercalation modes. CCDC: 604187, **1**; 603213, **2**.

**Key words:** Ru(III) complex; crystal structure; spectral characterization; interaction with DNA

## 0 引言

近几十年以来, 由于金属钌配合物具有特殊的电子结构和空间结构, 在功能材料和生物活性研究方面都具有重要的价值, 化学工作者们对金属钌配合物愈加关注, 钌配合物已经成为生物模拟、分子材

料研究的重要内容。大量研究表明, 钌配合物在生物体内易于吸收和代谢, 属于低毒性的化合物<sup>[1-3]</sup>; 而且钌配合物具有与铂配合物相似的分子结构, 能够以插入方式、沟面结合方式以及静电作用方式与 DNA 分子交联, 干扰核酸的生物功能<sup>[4-6]</sup>。国际上已普遍认为, 钌配合物将成为最有前途的抗肿瘤药物之一<sup>[7]</sup>。

收稿日期: 2013-12-05。收修改稿日期: 2014-09-18。

国家自然科学基金(No.21101068)、安徽省自然科学基金(No.1308085MB16)资助项目。

\*通讯联系人。E-mail: hbnuypp@163.com

相比较 Ru(II)配合物,Ru(III)配合物与DNA作用的研究,特别是Ru(III)-edta类配合物的研究报道较少<sup>[8-10]</sup>。基于此,本文采用K[Ru(Hedta)Cl]·1.5H<sub>2</sub>O为金属断片,选择不同的含氮杂环配体,设计合成了2个单核Ru(III)-edta类配合物,解析了它们的晶体结构,对配合物进行了光谱性质以及与DNA作用的研究,研究表明配合物1和2均与DNA以插入方式发生作用。

## 1 实验部分

### 1.1 实验材料

K[Ru(Hedta)Cl]·1.5H<sub>2</sub>O和配体5-(4-吡啶)四唑(4-Ptz)分别按照参考文献方法合成<sup>[11-12]</sup>,其他试剂均为分析纯,实验前未做进一步处理。采用三蒸水配置缓冲溶液。

### 1.2 实验仪器

Bruker Smart 1000 CCD面探衍射仪;Perkin-Elemer 240型元素分析仪;Bruker Tensor 27型红外光谱仪,KBr压片;Jasco V-570型紫外-可见分光光度计;Cary Eclipse型荧光分光光度计;Epsilon BAS电化学工作站。

### 1.3 配合物的合成

#### 1.3.1 [Ru(Hedta)(4-Ptz)]·4H<sub>2</sub>O(1)的合成

将K[Ru(Hedta)Cl]·1.5H<sub>2</sub>O(0.098 2 g,0.2 mmol)溶于10 mL水溶液中,向其中缓慢加入10 mL 5-(4-吡啶)四唑(4-Ptz)(0.029 2 g,0.2 mmol)的乙醇溶液,搅拌5 min,得到红色溶液。将溶液过滤,滤液静置,一个月后得到适合X-射线衍射分析的红色块状晶体。产率(以Ru为基准):40%。元素分析结果,实验值

(%):C, 32.27; H, 4.05; N, 16.30; 理论值(%):C, 32.03; H, 4.00; N, 16.35。

#### 1.3.2 [Ru(Hedta)(2,5-Pydc)]·3H<sub>2</sub>O(2)的合成

将溶于10 mL的热水中的2,5-吡啶二甲酸(2,5-Pydc)(0.018 7 g,0.1 mmol)加入到10 mL K[Ru(Hedta)Cl]·1.5H<sub>2</sub>O(0.098 2 g,0.2 mmol)的水溶液中,加热回流2 h后,得到橙红色溶液。将溶液冷却至室温后过滤,滤液静置,数月后得到适合X-射线衍射分析的橙红色晶体。产率(以Ru为基准):35%。元素分析结果,实验值(%):C, 33.24; H, 3.85; N, 6.69;理论值(%):C, 33.36; H, 3.93; N, 6.87。

### 1.4 晶体结构测定

配合物1和2的晶体结构测定在Bruker Smart 1000 X-射线衍射仪上进行单晶衍射实验收集衍射数据。室温下采用经石墨单色器单色化的Mo K $\alpha$ 射线( $\lambda=0.071\text{073 nm}$ )作入射光源,以 $\omega$ -2 $\theta$ 扫描方式收集衍射点。配合物1和2分别在 $1.77^\circ \leq \theta \leq 25.02^\circ$ 和 $1.26^\circ \leq \theta \leq 25.02^\circ$ 范围内共收集了11 931和11 146个衍射点,其中3 937和3 971个独立衍射强度数据,3 439和3 264个用于精修的衍射点, $R_{\text{int}}$ 值分别为0.021 7和0.026 6。非氢原子坐标用直接法解出,并对他们的坐标及其各向异性热参数用全矩阵最小二乘法进行修正。氢原子的位置由理论加氢得到,并使用跨式模型进行精修。所有的计算使用SHELXS-97和SHELXL-97程序包进行<sup>[13-14]</sup>。有关配合物1和2的X-射线衍射分析的实验条件、数据收集、结构解析、修正方法以及晶体学数据列于表1,主要键长键角数据列于表2。

表1 配合物1和2的晶胞数据

Table 1 Data collection and processing parameters for complexes 1~2

Complex	1	2
Empirical formula	C <sub>16</sub> H <sub>24</sub> N <sub>7</sub> O <sub>11.50</sub> Ru	C <sub>17</sub> H <sub>24</sub> N <sub>3</sub> O <sub>15</sub> Ru
Formula weight	599.49	611.46
Temperature / K	293(2)	294(2)
Wavelength / nm	0.071 073	0.071 073
Crystal system	Monoclinic	Monoclinic
Space group	C2/c	I2/a
Unit cell dimensions		
<i>a</i> / nm	2.348 06(15)	3.249 4(7)
<i>b</i> / nm	1.301 23(8)	0.966 23(19)
<i>c</i> / nm	1.493 08(9)	1.434 1(3)
$\beta$ / (°)	101.075 0(10)	93.88(3)
Volume / nm <sup>3</sup>	4.476 9(5)	4.492 4(16)

Continued Table 1

Z	8	8
$D_e / (\text{Mg} \cdot \text{m}^{-3})$	1.779	1.808
Absorption coefficient / $\text{mm}^{-1}$	0.777	0.783
F(000)	2 440	2 488
Crystal size / mm	0.22×0.20×0.14	0.20×0.18×0.16
$\theta$ range for data collection / ( $^\circ$ )	1.77 to 25.02	1.26 to 25.02
Reflections collected	11 931	11 146
Unique Reflections	3 937 [ $R_{\text{int}}=0.021$ 7]	3 971 [ $R_{\text{int}}=0.026$ 6]
Data/restraints/parameters	3 937/12/326	3 971/9/328
Goodness-of-fit on $F^2$	1.029	1.041
Final R indices [ $I>2\sigma(I)$ ]	$R_1=0.023$ 0, $wR_2=0.058$ 3	$R_1=0.0317$ , $wR_2=0.076$ 3

表 2 配合物 1 和 2 的键长、键角

Table 2 Selected bond lengths (nm) and angles ( $^\circ$ ) for complexes 1~2

1					
Ru(1)-O(2)	0.198 79(18)	Ru(1)-N(6)	0.205 6(2)	Ru(1)-O(4)	0.202 53(17)
Ru(1)-N(1)	0.207 0(2)	Ru(1)-O(5)	0.202 64(18)	Ru(1)-N(7)	0.212 1(2)
O(2)-Ru(1)-O(4)	93.41(8)	O(4)-Ru(1)-N(1)	93.85(8)	O(2)-Ru(1)-O(5)	176.02(7)
O(5)-Ru(1)-N(1)	91.67(8)	O(4)-Ru(1)-O(5)	88.53(7)	N(6)-Ru(1)-N(1)	175.05(8)
O(2)-Ru(1)-N(6)	84.94(8)	O(2)-Ru(1)-N(7)	96.30(8)	O(4)-Ru(1)-N(6)	82.77(8)
O(4)-Ru(1)-N(7)	164.34(8)	O(5)-Ru(1)-N(6)	91.86(8)	O(5)-Ru(1)-N(7)	81.08(8)
2					
Ru(1)-O(11)	0.198 7(3)	Ru(1)-N(1)	0.210 9(3)	Ru(1)-O(1)	0.200 6(3)
Ru(1)-N(3)	0.211 0(3)	Ru(1)-O(5)	0.202 3(3)	Ru(1)-N(2)	0.213 8(3)
O(11)-Ru(1)-O(1)	89.73(13)	O(5)-Ru(1)-N(3)	94.11(12)	O(1)-Ru(1)-O(5)	174.97(12)
N(1)-Ru(1)-N(3)	169.49(13)	O(11)-Ru(1)-N(1)	92.72(12)	O(11)-Ru(1)-N(2)	93.29(12)
O(1)-Ru(1)-N(1)	79.52(12)	O(1)-Ru(1)-N(2)	173.27(12)	O(5)-Ru(1)-N(1)	89.47(12)
O(5)-Ru(1)-N(2)	81.75(12)				

CCDC: 604187, 1; 603213, 2。

### 1.5 配合物 1 和 2 与 DNA 作用的电子吸收光谱的测试

首先, 称取 6.055 g(50 mmol)三羟甲基氨基甲烷(Tris)和 2.925 g(50 mmol)NaCl 溶于 900  $\text{cm}^3$  水, 以稀盐酸调 pH 值至 7.2, 用 1 000  $\text{cm}^3$  容量瓶定容, 配制成 pH 值为 7.2 的 Tris-HCl 缓冲溶液。然后, 称取一定量的小牛胸腺溶于 Tris-HCl 缓冲溶液中, 稀释至 DNA 浓度为  $2.84 \times 10^{-4}$   $\text{mol} \cdot \text{L}^{-1}$ , 将配制好的 DNA 溶液置于冰箱中备用。随后, 分别称取适量配合物 1 和 2 溶于二甲基亚砜(DMSO)中, 配制成 1  $\text{mmol} \cdot \text{L}^{-1}$  的配合物溶液备用。利用紫外-分光光度计在波长为 190~500 nm 的范围内进行波长扫描。实验时, 首先在参比池和样品池中分别放入 2.9 ml Tris-HCl 缓冲

溶液和 0.1 mL 的被测配合物的溶液(保持二者量不变至实验完成), 再依次向参比池和样品池中分别滴加相同体积的 DNA 溶液, 使 DNA 与配合物的浓度比值不断增加, 直至饱和, 配合物的吸收光谱不再变化。

### 1.6 配合物 1 和 2 与 DNA 作用的荧光淬灭光谱的测试

首先, 将 100  $\mu\text{mol} \cdot \text{L}^{-1}$  的 DNA 溶液和 2.5  $\mu\text{mol} \cdot \text{L}^{-1}$  的溴化乙锭(EB)溶液混合成 EB-DNA 溶液, 得到的混合溶液在冰箱中放置过夜。随后, 称取适量配合物 1、2 分别溶于 DMSO 中, 配制成 1  $\text{mmol} \cdot \text{L}^{-1}$  的溶液备用。淬灭滴定实验时, 样品池中加入 3.0 mL 储备的 EB-DNA 混合液, 激发波长为 305 nm, 发射波长为 605 nm。用微量进样器每次往样品池中加入

相同体积的配合物储备液,使配合物与DNA的浓度比值不断增加,直至饱和,观察发射光谱的变化。

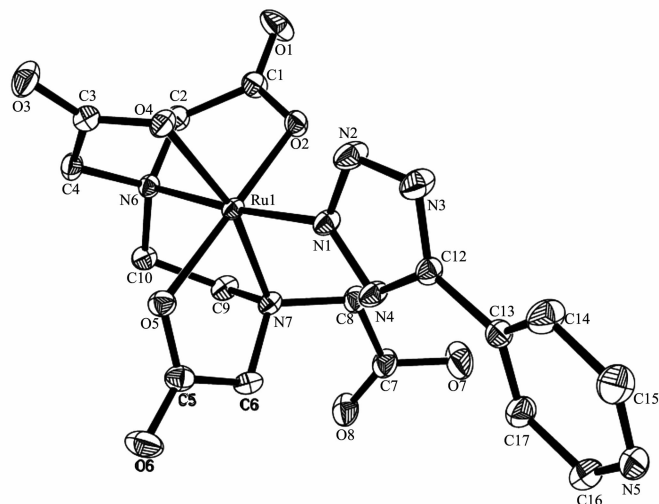
## 2 结果与讨论

### 2.1 晶体结构

配合物**1**的晶体属于单斜晶系, $C2/c$ 空间群。如图1所示,配合物**1**的晶体结构是由1个中性的[Ru(Hedta)(4-Ptz)]基团和4个水分子构成。中心金属Ru(III)原子是六配位的,处于畸变的八面体配位环境中。Ru(III)原子的配位点分别来自于配体Hedta<sup>3-</sup>的2个氮原子N(2),N(3)和2个氧原子O(5)和O(11)占据,与配合物**2**不同的是,配体2,5-Pydc羧基氧原子O(1)取代了配体Hedta<sup>3-</sup>的1个羧基氧原子,与中心原子Ru(III)配位,另外1个配位位点由配体2,5-Pydc的氮原子N(1)占据,Ru-O和Ru-N的距离分别为0.198 6(2)~0.202 3(2)nm,

配位点。Ru-O键长分别为0.198 79(18), 0.202 53(17)和0.202 64(18)nm,Ru-N键长分别为0.205 6(2), 0.207 0(2), 0.212 1(2)nm,与文献报道的Ru(III)-edta类配合物键长相吻合<sup>[15]</sup>。

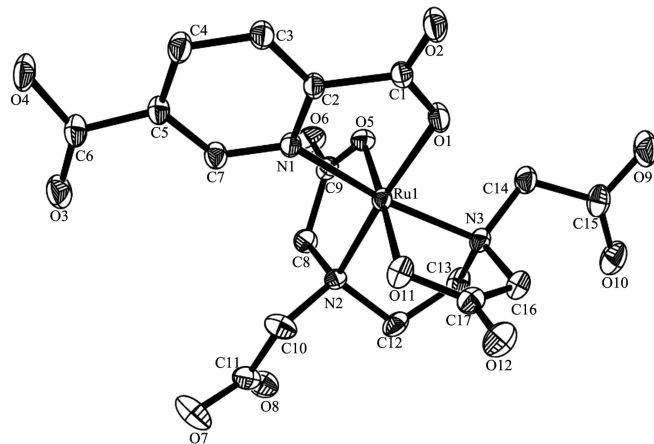
配合物**2**的晶体属于单斜晶系, $I2/a$ 空间群。如图2所示,在配合物**2**中,钌原子的4个配位点分别由配体Hedta<sup>3-</sup>的2个氮原子N(2),N(3)和2个氧原子O(5)和O(11)占据,与配合物**2**不同的是,配体2,5-Pydc羧基氧原子O(1)取代了配体Hedta<sup>3-</sup>的1个羧基氧原子,与中心原子Ru(III)配位,另外1个配位位点由配体2,5-Pydc的氮原子N(1)占据,Ru-O和Ru-N的距离分别为0.198 6(2)~0.202 3(2)nm,



Hydrogen atoms and water molecules omitted for clarity

图1 配合物**1**的分子结构

Fig.1 Crystal structure of complex **1** with thermal ellipsoids at 30% probability



Hydrogen atoms and water molecules omitted for clarity

图2 配合物**2**的分子结构

Fig.2 Crystal structure of complex **2** with thermal ellipsoids at 30% probability

0.211 0(2)~0.213 9(2) nm, 说明中心原子 Ru(III) 处于畸变的八面体空间构型。

## 2.2 IR 光谱研究

配合物 **1** 和 **2** 的 IR 红外谱图的特征吸收显示, 在 3 415 和 3 488 cm<sup>-1</sup> 处分别出现 1 个强度较大的吸收峰, 可归属为分子中晶体水的振动吸收和羧基的-OH 伸缩振动吸收峰的叠加; 在 1 742 和 1 726 cm<sup>-1</sup> 处出现的强吸收峰可归属为未配位的  $\nu_{as}(C=O)$  的吸收, 在 1 640 和 1 636 cm<sup>-1</sup> 处出现的强吸收峰可以归属为配位的  $\nu_{as}(C=O)$  的吸收, 在 1 339 和 1 344 cm<sup>-1</sup> 处出现的吸收峰可归属为  $\nu_s(C=O)$  的吸收。此外, 配合物 **1** 和 **2** 分别在 1 460 和 1 339 cm<sup>-1</sup>、1 470 和 1 344 cm<sup>-1</sup> 处出现了 C=C 和 C=N 伸缩振动吸收, 在 930 和 923 cm<sup>-1</sup> 处的吸收峰可指认为 C-H 面外弯曲振动。

## 2.3 UV-Vis 光谱研究

测定配合物 **1** 和配合物 **2** 在色谱纯 DMSO 溶液中室温条件下的 UV-Vis 光谱, 与文献报道的 Ru-edta 类配合物相似<sup>[15]</sup>。如图 3 和图 4 所示, 配合物 **1** 在 268 nm( $\varepsilon=2.52\times10^3$  L·mol<sup>-1</sup>·cm<sup>-1</sup>) 处有强吸收峰,

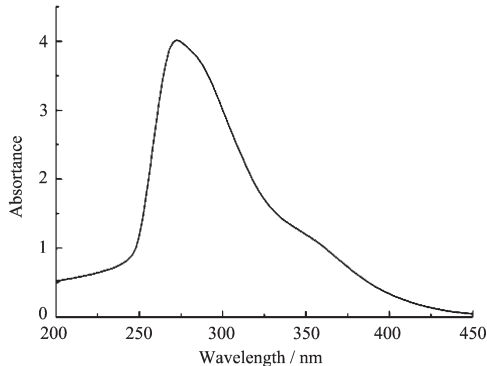


图 3 配合物 **1** 在 DMSO 溶液中的 UV-Vis 光谱

Fig.3 UV-Vis spectrum of the complex **1** in DMSO

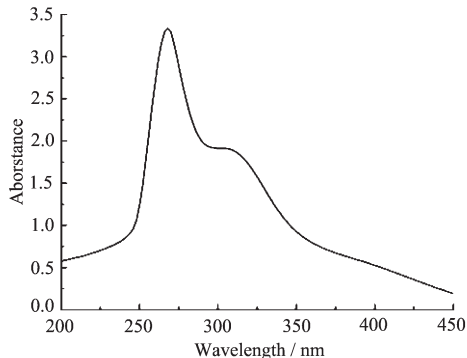


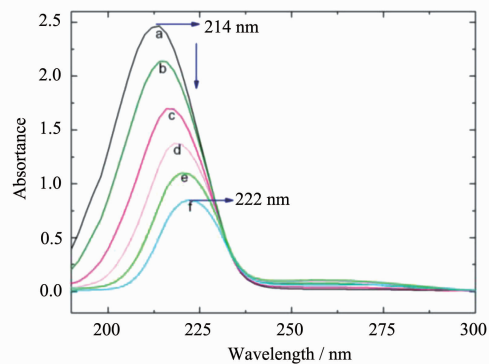
图 4 配合物 **2** 在 DMSO 溶液中的 UV-Vis 光谱

Fig.4 UV-Vis spectrum of the complex **2** in DMSO

配合物 **2** 分别在 264 nm( $\varepsilon=2.67\times10^3$  L·mol<sup>-1</sup>·cm<sup>-1</sup>) 和 304 nm( $\varepsilon=3.12\times10^3$  L·mol<sup>-1</sup>·cm<sup>-1</sup>) 处出现强吸收峰, 在紫外区出现的类似吸收峰均归属为配体到 Ru(III) 的荷移跃迁(LMCT)。

## 2.4 配合物与 DNA 作用的电子吸收光谱研究

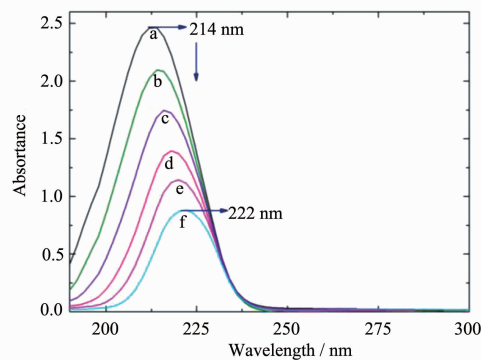
图 5、6 分别为配合物 **1** 和 **2** 与 DNA 作用的电子吸收光谱图, 研究结果表明, 随着 DNA 的加入, 配合物 **1** 和 **2** 均产生了明显的减色效应, 且伴有红移现象。根据文献报道, 钯配合物能够以插入、静电和沟面结合 3 种方式与 DNA 作用, 其中, 插入模式尤为重要, 配合物的很多性质都与插入结合有关。钌配合物与 DNA 结合, 特别是以插入方式结合, 可以使配合物的吸收光谱有减色效应, 且最大吸收峰发生明显的红移, 这符合 Long 提出的利用吸收光谱实验



(a) In the absence of DNA; (b) complex **1**+DNA (2  $\mu$ L); (c) complex **1**+DNA (8  $\mu$ L); (d) complex **1**+DNA (15  $\mu$ L); (e) complex **1**+DNA(20  $\mu$ L); (f) complex **1**+DNA (25  $\mu$ L)

图 5 配合物 **1** 的紫外可见光谱

Fig.5 UV-Vis spectrum of the complex **1**



(a) In the absence of DNA; (b) complex **2**+DNA (2  $\mu$ L); (c) complex **2**+DNA (6  $\mu$ L); (d) complex **2**+DNA(10  $\mu$ L); (e) complex **2**+DNA (15  $\mu$ L); (f) complex **2**+DNA (20  $\mu$ L)

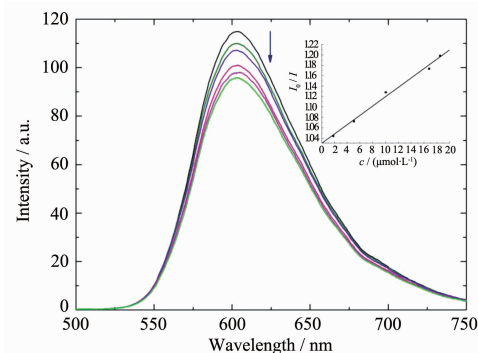
图 6 配合物 **2** 的紫外可见光谱

Fig.6 UV-Vis spectrum of the complex **2**

证明小分子与DNA分子发生插入作用的标准<sup>[16]</sup>。电子吸收光谱的变化特征表明，配合物**1**和**2**均可能与CT-DNA发生了插入反应，我们通过荧光光谱滴定的方法予以证明。

## 2.5 配合物与DNA作用的荧光猝灭光谱研究

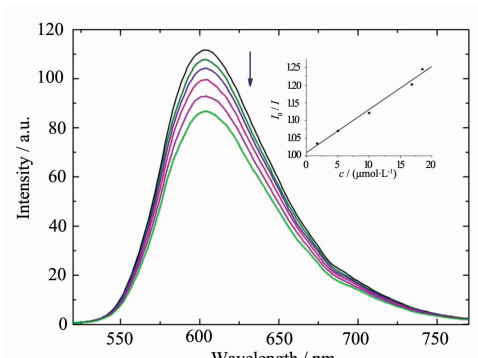
配合物**1**和**2**本身均无荧光，在EB-DNA体系中分别加入配合物**1**和**2**后，EB-DNA的荧光强度降低，并且随着配合物浓度的增加，其荧光强度逐渐降低，这可能是由于配合物和EB争夺与CT-DNA的结合位点，使体系中游离的EB增多，从而使体系的荧光强度迅速降低<sup>[17-18]</sup>。图7-8分别给出了配合物**1**和**2**与EB-DNA作用的荧光猝灭光谱图。从这些图我们可以看出，随着配合物浓度的增加，有明显的



Insert: the plot of  $I_0/I$  vs.  $c$  ( $I_0$  is the emission intensity EB-DNA in the absence of complex **1**,  $I$  is emission intensity of EB-DNA in the presence of complex **1**,  $c$  is the concentration of complex **1**)

图7 室温下配合物**1**与EB-DNA的荧光猝灭

Fig.7 Fluorescence quenching of complex **1** to EB-DNA system at room temperature



Insert: the plot of  $I_0/I$  vs.  $c$  ( $I_0$  is the emission intensity EB-DNA in the absence of complex **2**,  $I$  is emission intensity of EB-DNA in the presence of complex **2**,  $c$  is the concentration of complex **2**)

图8 室温下配合物**2**与EB-DNA的荧光猝灭

Fig.8 Fluorescence quenching of complex **2** to EB-DNA system at room temperature

荧光淬灭现象，并且荧光发射峰位有明显蓝移。该实验结果表明，配合物**1**和**2**与CT-DNA的竞争结合取代了EB而与DNA结合，这也与电子光谱的实验结果相吻合。

在荧光猝灭光谱图的右上角给出了配合物的Stern-Volmer图。根据Stern-Volmer方程式<sup>[19]</sup>，以加入配合物前后EB-DNA的荧光强度比值( $I_0/I$ )为纵坐标，配合物的浓度为横坐标，得到配合物与EB对DNA的竞争结合荧光猝灭拟合曲线，由图可见，配合物的( $I_0/I$ ) vs.  $c$ 作图均呈直线关系，基本上满足了Stern-Volmer方程，表明荧光猝灭是配合物取代了已插入DNA的EB的结果。

## 3 结 论

本文报道了2个新的单核Ru(III)-edta配合物： $[\text{Ru}(\text{Hedta})(4\text{-Ptz})] \cdot 4\text{H}_2\text{O}$  (**1**)和 $[\text{Ru}(\text{Hedta})(2,5\text{-Pydc})] \cdot 3\text{H}_2\text{O}$  (**2**)。配合物**1**和**2**的电子吸收光谱表明配合物**1**和**2**均可能与CT-DNA发生了插入反应，与EB-DNA作用的荧光光谱表明随着配合物浓度的增加，有明显的荧光猝灭现象，并且荧光发射峰位有明显蓝移，证实了配合物**1**和**2**与DNA发生插入作用。

## 参 考 文 献：

- [1] Sava G, Dyson P J. *Dalton Trans.*, **2006**, *16*:1929-1933
- [2] Casini A, Mastrobuoni G, Terenghi M, et al. *J. Biol. Inorg. Chem.*, **2007**, *12*:1107-1117
- [3] Schluga P, Hartinger C G, Egger A, et al. *Dalton Trans.*, **2006**, *14*:1796-1802
- [4] SUN Jing(孙静), CHEN Jia-Xi(陈嘉曦), LIN Hai-Ling(林海玲), et al. *Chinese J. Inorg. Chem.*(无机化学学报), **2012**, *28*(1):45-49
- [5] YUAN Yi-Xian(袁益娴), CHEN Yu(陈禹), WANG Yi-Can(王贻灿), et al. *Chinese J. Inorg. Chem.*(无机化学学报), **2008**, *24*(8):1265-1271
- [6] XU Li(徐丽), CHEN Yu(陈禹), WU Jia-Huan(巫佳煐), et al. *Chinese J. Inorg. Chem.*(无机化学学报). **2013**, *29*(3):613-620
- [7] CHEN Lan-Mei(陈兰美), CHEN Jin-Can(陈锦灿), LIAO Si-Yan(廖思燕), et al. *Chinese J. Inorg. Chem.*(无机化学学报), **2012**, *28*(9):1843-1850
- [8] Łakomska I, Fandzloch M, Muziol T, et al. *Dalton Trans.*, **2013**, *42*:6219-6226
- [9] Paul H, Mukherjee T, Drew M G B, et al. *J. Coord. Chem.*,

- 2012, **65**:1289-1302
- [10]Sathyaraj S, Butcher R J, Jayabalakrishnan C. *J. Coord. Chem.*, **2013**, **66**:580-584
- [11]Jedd C, Etelka F. *Dalton Trans.*, **2003**, 4243-4249
- [12]Detert H, Schollmeier D. *Synthesis*, **1999**:999-1004
- [13]Sheldrick G M. *SHELXS 97, Program for the Solution of Crystal Structures*, University of Göttingen, **1997**.
- [14]Sheldrick G M. *SHELXL 97, Program for the Refinement of Crystal Structures*, University of Göttingen, **1997**.
- [15]Wang J Y, Gu W, Wang W Z, et al. *J. Coord. Chem.*, **2011**, **64**:2321-2328
- [16]Long E C, Barton J K. *Acc. Chem. Res.*, **1990**, **23**:271-273
- [17]GUO Qiong(郭琼), LI Lian-Zhi(李连之), DONG Jian-Fang (董建方), et al. *Acta Chim. Sinica (化学学报)*, **2012**, **70**: 1617-1624
- [18]NIU Mao-Fei(牛茂斐), CHANG Wen-Ming(常文明), NIU Mei-Ju(牛美菊). *Chinese J. Inorg. Chem.(无机化学学报)*, **2014**, **30**(9):2049-2056
- [19]Lakowicz J R, Webber G. *Biochemistry*, **1973**, **12**:4161-4170